

6-4 東海・関東・伊豆地域における地下水等観測結果(2018年11月～2019年4月) (59)
**The Variation of the Groundwater Level, Discharge Rate, Tilt meter,
Three-Component Strain, and Subsidence in the Tokai, Kanto District and Izu
Peninsula, Japan. (from Nov. 2018 to Apr. 2019) (59)**

産業技術総合研究所
Geological Survey of Japan, AIST

2018年11月～2019年4月の半年間の東海・関東・伊豆地域の地下水等の観測結果を報告する。本報告では、観測井配置図(第1図)の図中の枠で示す4地域および第2図に示す地域に分けて表示する。6ヶ月間のデータを3ヶ月毎に示すとともに2年間の観測データを参考として示す(第3～20図)。また、浜岡・掛川における沈下等の観測結果(第21, 22図)についても示す。なお図中の印で、\$は保守を、*は雨量補正不十分を、@は解析による見かけ上のギャップを、#はバッテリー消耗を、?は原因不明をそれぞれ表す。

東海地域中部：静岡栗原1の水位上が2015年4月中旬に井戸管の広い部分まで上昇したのでそれ以降の水位変化が小さくなっている。

東海地域南部：御前崎のガス流量システムを2017年2月16日に更新した。2016年12月16日～2017年3月14日、2018年10月16～26日の御前崎の水位の異常はガス流量計の故障が原因と思われる。

東海地域西部：特記すべき変化はない。

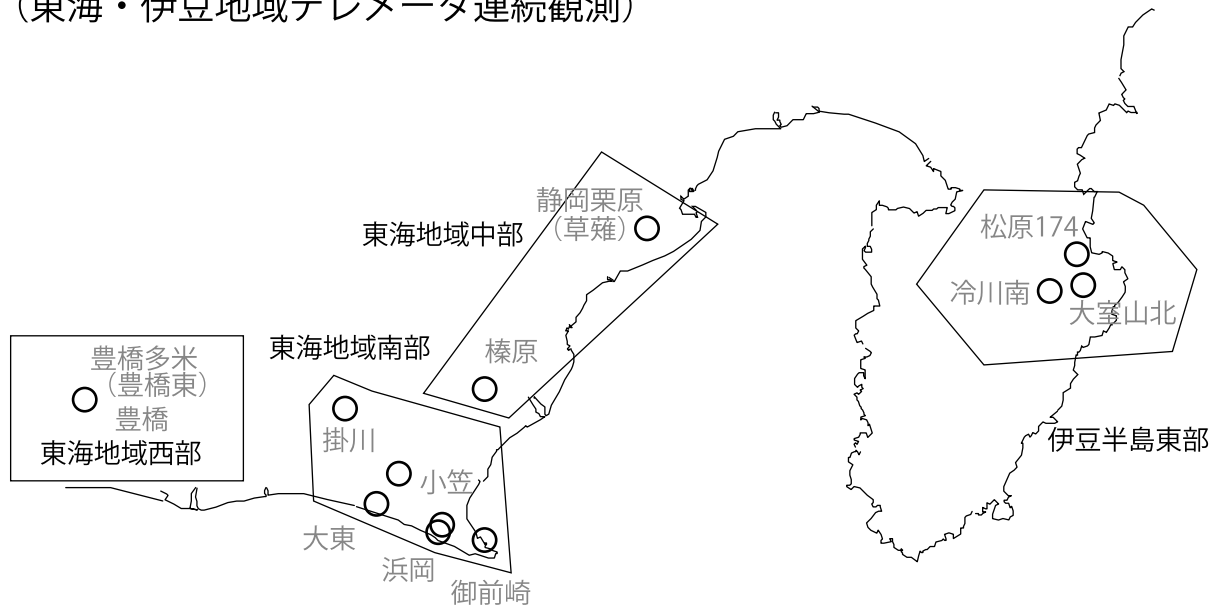
伊豆半島東部地域：松原174号井は静岡県による観測である。松原174の水位計が長期的にドリフトしていることが分かったので、2014年7月4日に新水位計を設置した。新水位計を2017年10月12日に交換した。松原174の水位は2017年10月29日～11月6日頃まで断続的に管頭から水があふれた。

関東地域：つくば2,3,4の水位が例年春から秋に低下するのは、周囲の揚水によると考えられる。

これらのデータはWellWeb (<http://www.gsj.jp/wellweb>) にて公開している。

(木口 努・松本則夫・北川有一・板場智史・落 唯史・佐藤 努)

産業技術総合研究所地下水観測井配置図
 (東海・伊豆地域テレメータ連続観測)



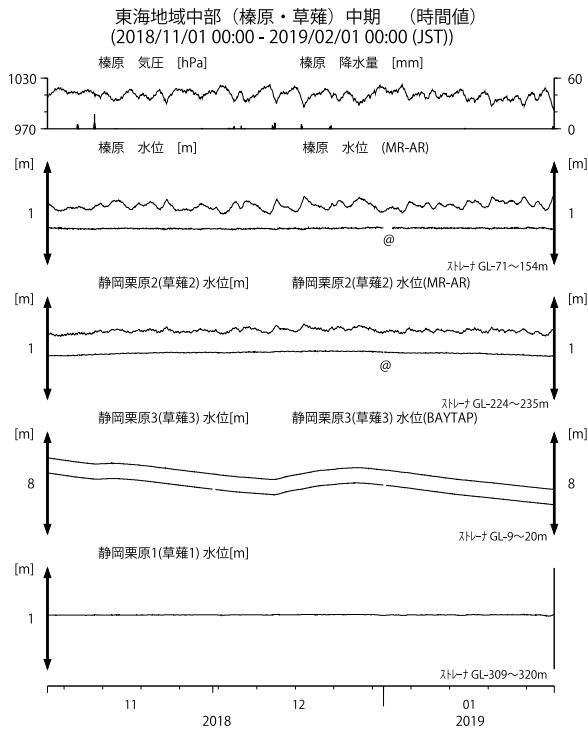
第1図 東海・伊豆地域の産業技術総合研究所地下水等観測井の配置図

Fig. 1 Location of the groundwater observation wells in and around the Tokai and Izu district.

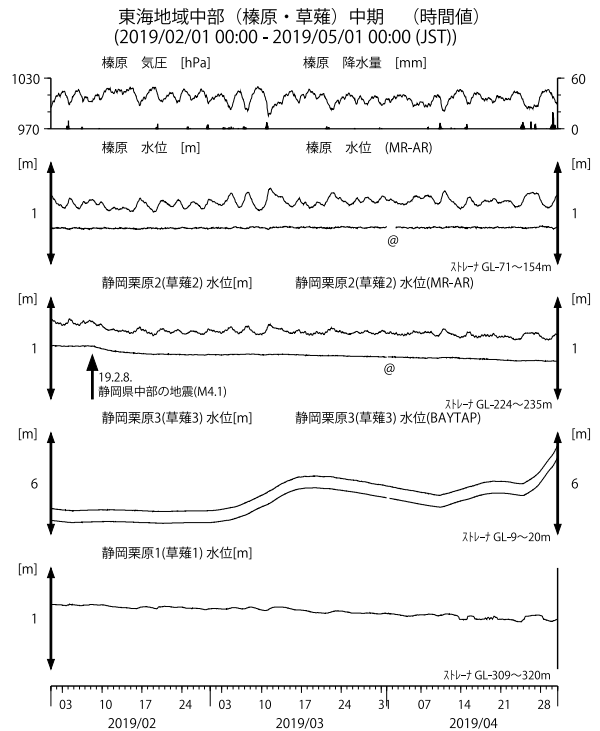
産業技術総合研究所地下水観測井配置図
(南関東地域テレメータ連続観測)



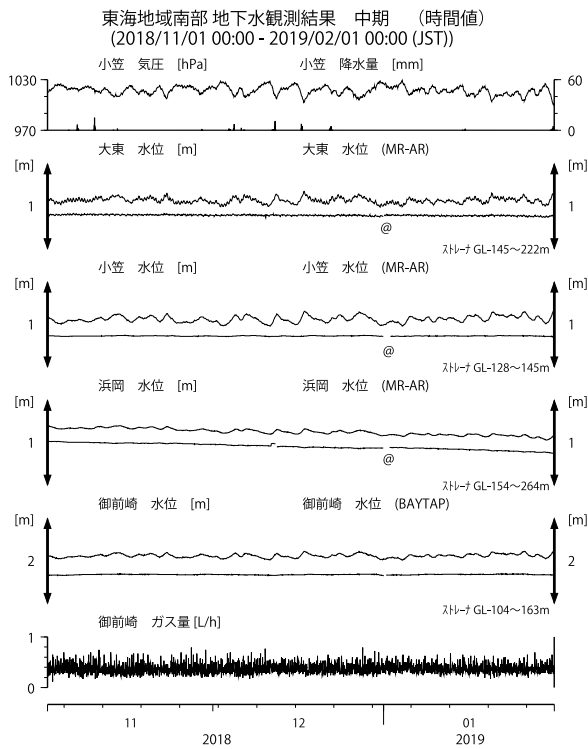
第2図 関東地域の産業技術総合研究所地下水等観測井の配置図
Fig. 2 Location of the groundwater observation wells in the Kanto district.



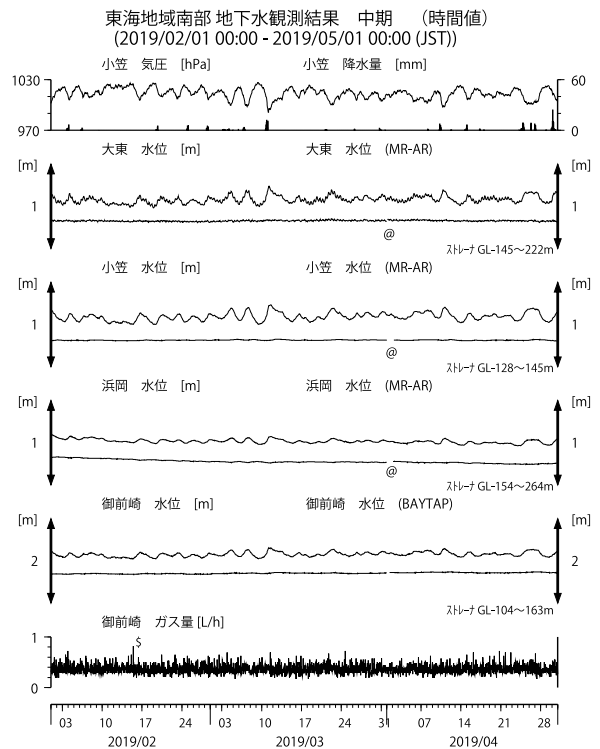
第3図 東海地域中部の地下水等の観測結果(2018年11月～2019年1月)
 Fig. 3 Observed groundwater levels and others in the central Tokai district from Nov. 2018 to Jan. 2019.



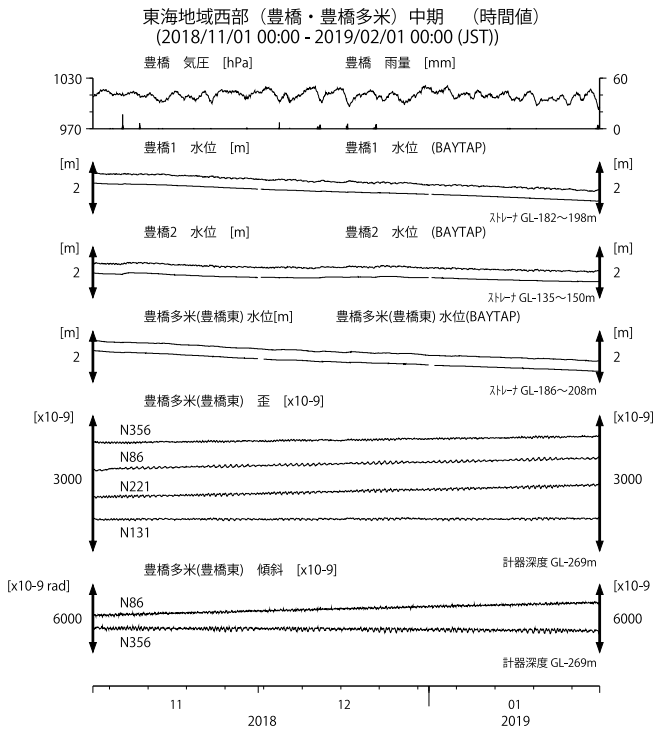
第4図 東海地域中部の地下水等の観測結果(2019年2月～2019年4月)
 Fig. 4 Observed groundwater levels and others in the central Tokai district from Feb. 2019 to Apr. 2019.



第5図 東海地域南部の地下水等の観測結果(2018年11月～2019年1月)
 Fig. 5 Observed groundwater levels and others in the southern Tokai district from Nov. 2018 to Jan. 2019.

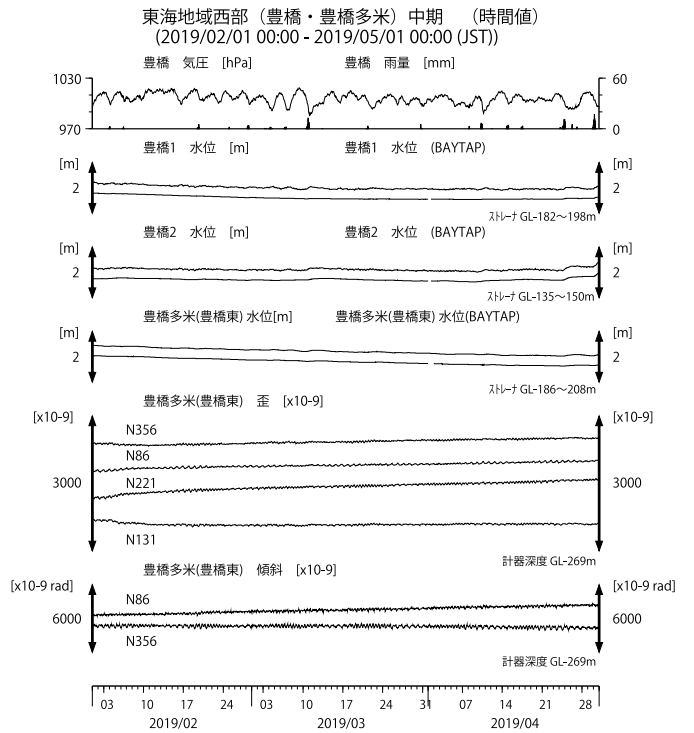


第6図 東海地域南部の地下水等の観測結果(2019年2月～2019年4月)
 Fig. 6 Observed groundwater levels and others in the southern Tokai district from Feb. 2019 to Apr. 2019.



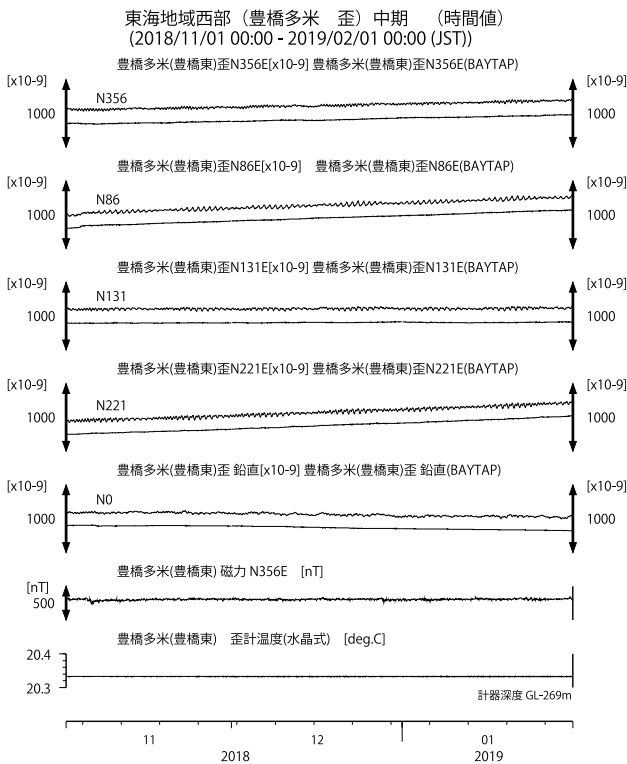
第7図 東海地域西部(豊橋・豊橋多米)の地下水等の観測結果 (2018年11月～2019年1月)

Fig. 7 Observed groundwater levels and others at the Toyohashi and Toyohashi-tame observation sites in the western Tokai district from Nov. 2018 to Jan. 2019.



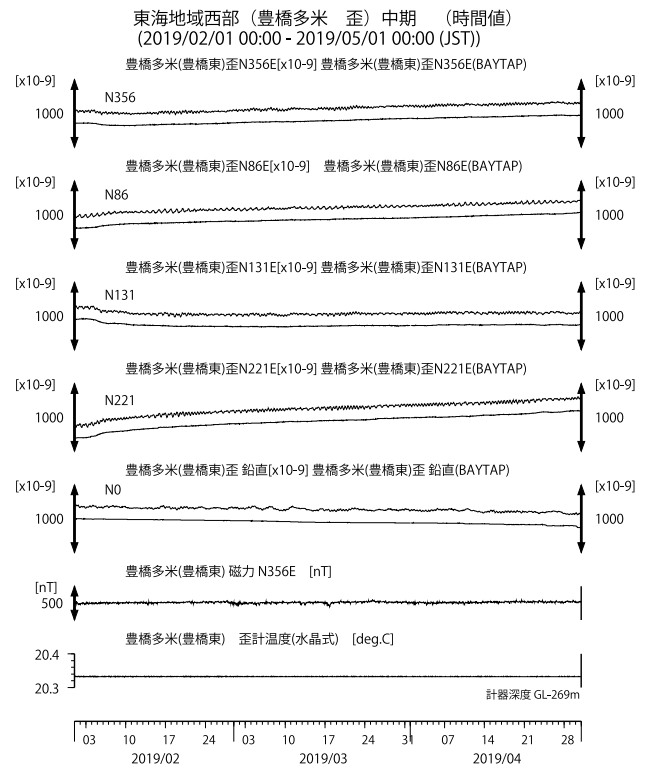
第8図 東海地域西部(豊橋・豊橋多米)の地下水等の観測結果 (2019年2月～2019年4月)

Fig. 8 Observed groundwater levels and others at the Toyohashi and Toyohashi-tame observation sites in the western Tokai district from Feb. 2019 to Apr. 2019.



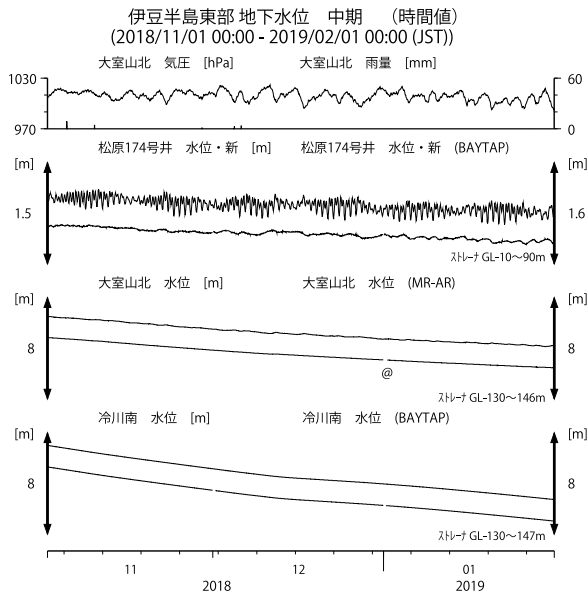
第9図 東海地域西部(豊橋多米)の歪等の観測結果(2018年11月～2019年1月)

Fig. 9 Observed strain and others at the Toyohashi-tame observation site in the western Tokai district from Nov. 2018 to Jan. 2019.



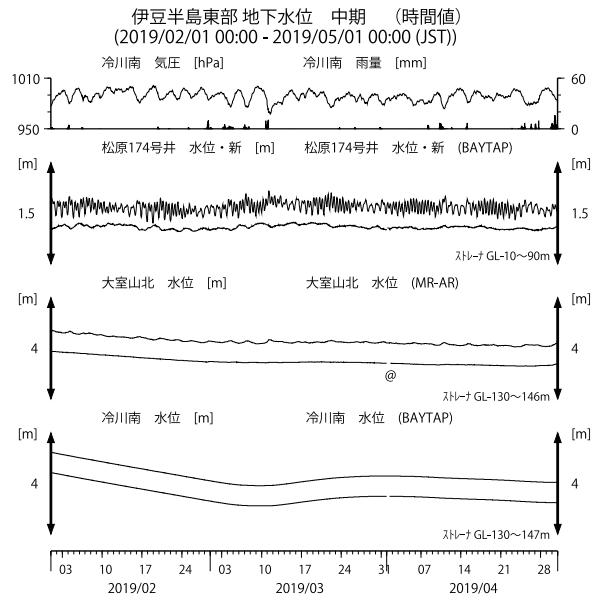
第10図 東海地域西部(豊橋多米)の歪等の観測結果(2019年2月～2019年4月)

Fig. 10 Observed strain and others at the Toyohashi-tame observation site in the western Tokai district from Feb. 2019 to Apr. 2019.



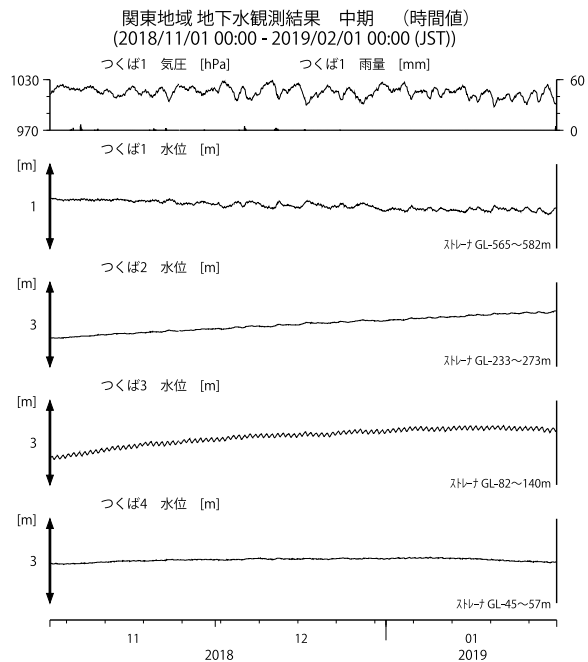
第 11 図 伊豆半島東部の地下水等の観測結果(2018年11月～2019年1月)

Fig. 11 Observed groundwater levels and others in the eastern Izu peninsula district from Nov. 2018 to Jan. 2019.



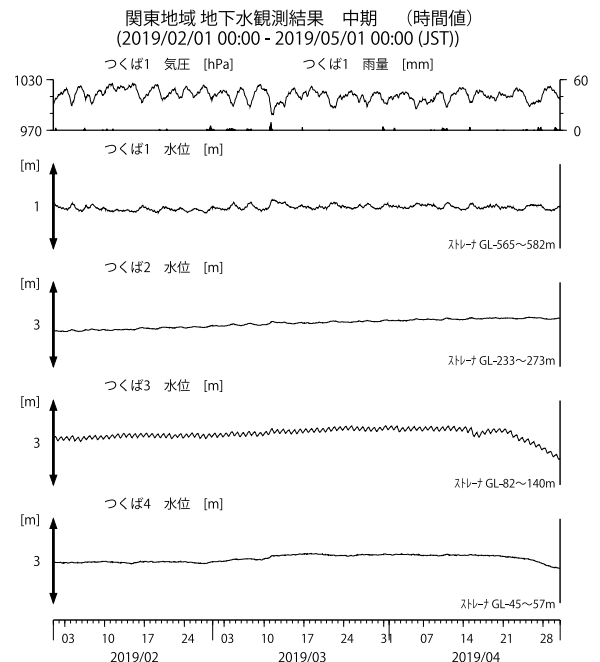
第 12 図 伊豆半島東部の地下水等の観測結果(2019年2月～2019年4月)

Fig. 12 Observed groundwater levels and others in the eastern Izu peninsula district from Feb. 2019 to Apr. 2019.



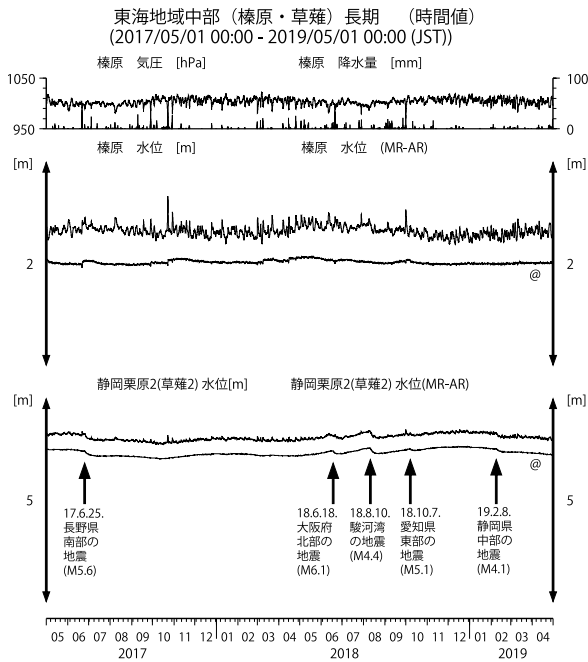
第 13 図 関東地域の地下水等の観測結果(2018年11月～2019年1月)

Fig. 13 Observed groundwater levels and others in the Kanto district from Nov. 2018 to Jan. 2019.



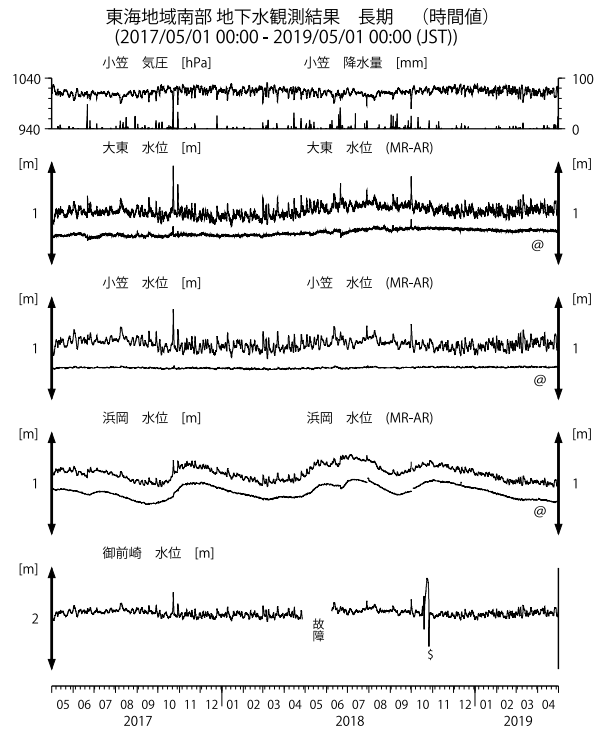
第 14 図 関東地域の地下水等の観測結果(2019年2月～2019年4月)

Fig. 14 Observed groundwater levels and others in the Kanto district from Feb. 2019 to Apr. 2019.



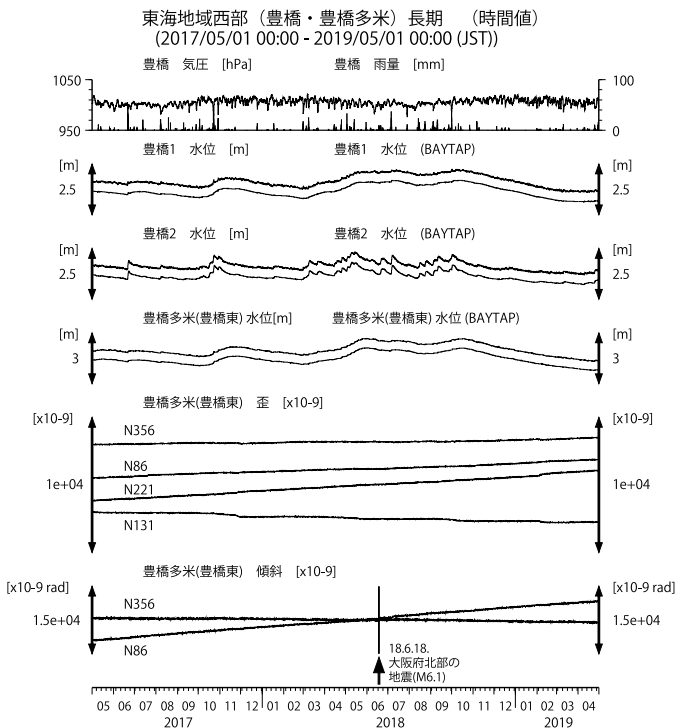
第 15 図 東海地域中部の地下水等の観測結果(2017年5月～2019年4月)

Fig. 15 Observed groundwater levels and others in the central Tokai district from May 2017 to Apr. 2019.



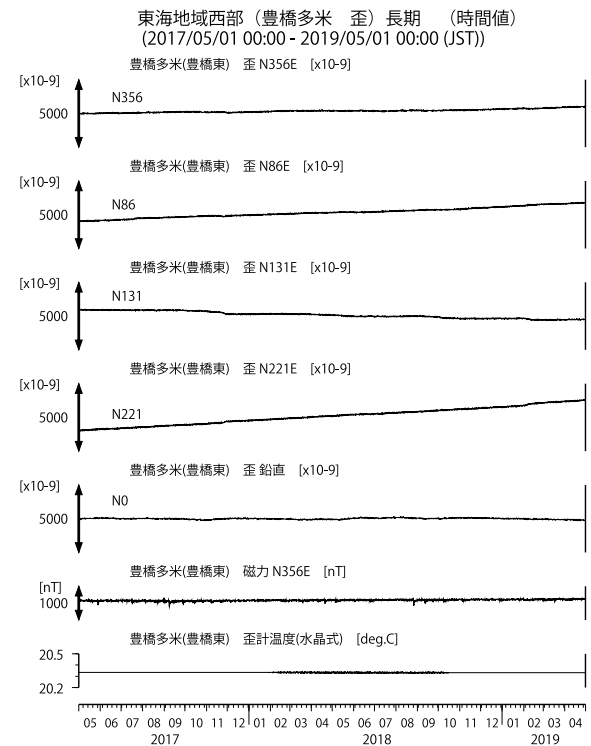
第 16 図 東海地域南部の地下水等の観測結果(2017年5月～2019年4月)

Fig. 16 Observed groundwater levels and others in the southern Tokai district from May 2017 to Apr. 2019.



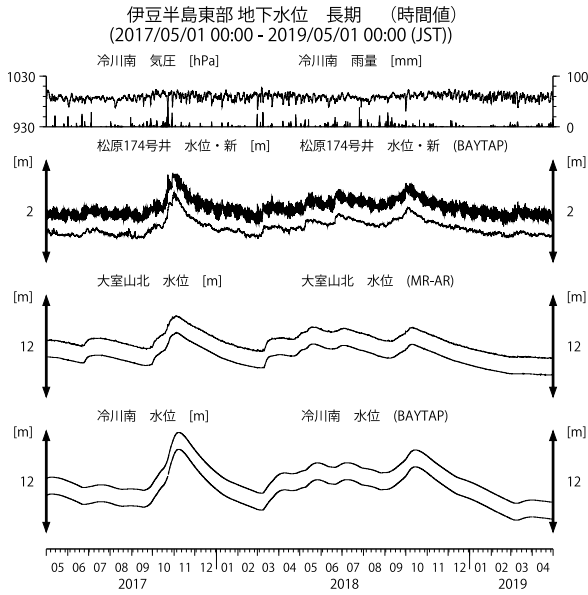
第 17 図 東海地域西部(豊橋・豊橋多米)の地下水等の観測結果(2017年5月～2019年4月)

Fig. 17 Observed groundwater levels and others at the Toyohashi and Toyohashi-tame observation sites in the western Tokai district from May 2017 to Apr. 2019.

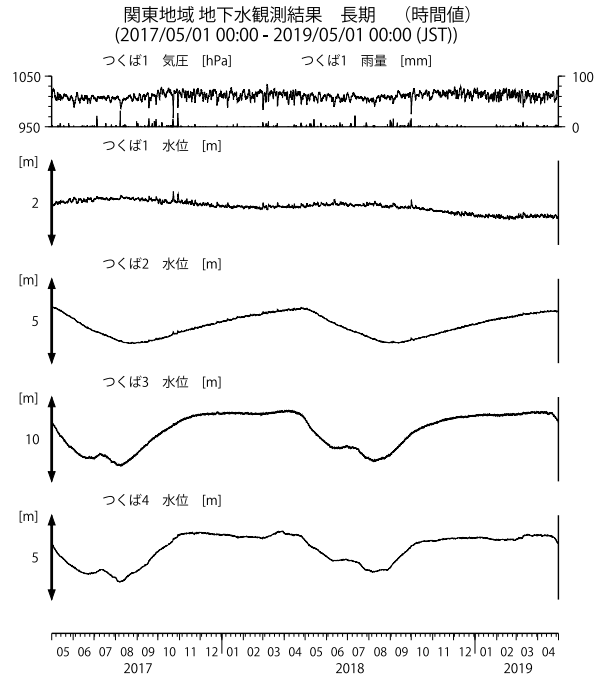


第 18 図 東海地域西部(豊橋多米)の歪等の観測結果(2017年5月～2019年4月)

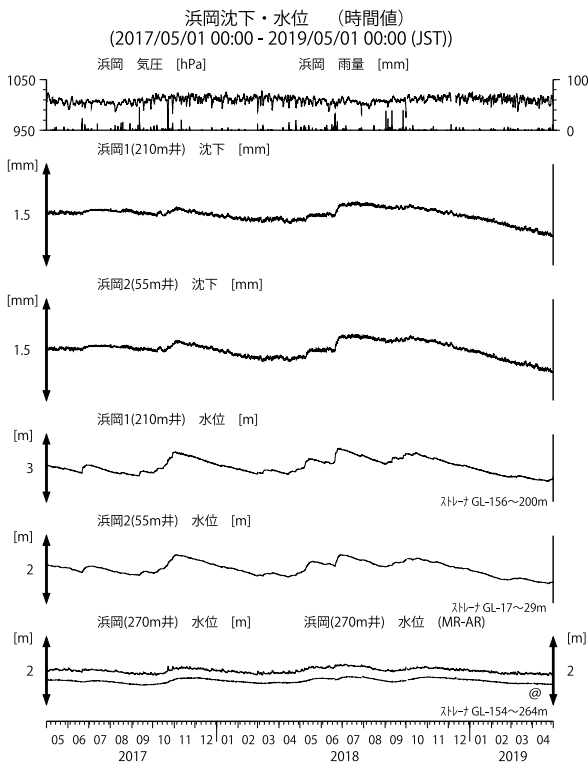
Fig. 18 Observed strain and others at the Toyohashi-tame observation site in the western Tokai district from May 2017 to Apr. 2019.



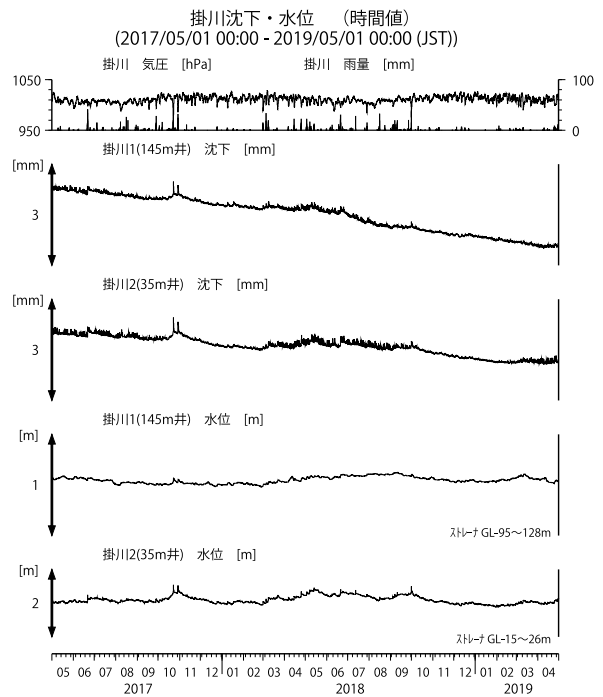
第 19 図 伊豆半島東部の地下水等の観測結果(2017年5月～2019年4月)
 Fig. 19 Observed groundwater levels and others in the eastern Izu peninsula from May 2017 to Apr. 2019.



第 20 図 関東地域の地下水等の観測結果(2017年5月～2019年4月)
 Fig. 20 Observed groundwater levels and others in the Kanto district from May 2017 to Apr. 2019.



第 21 図 浜岡における沈下等の観測結果(2017年5月～2019年4月)
 Fig. 21 Observed subsidence data and others at the Hamaoka observation well from May 2017 to Apr. 2019.



第 22 図 掛川における沈下等の観測結果(2017年5月～2019年4月)
 Fig. 22 Observed subsidence data and others at the Kakegawa observation well from May 2017 to Apr. 2019.